

**ФОТОЭЛЕКТРИЧЕСКИЕ СВОЙСТВА
AlGaAs—GaAs-ГЕТЕРОСТРУКТУР
С ТУННЕЛЬНО-ТОНКИМ «ШИРОКОЗОННЫМ ОКНОМ»**

Андреев В. М., Воднев А. А., Ларионов В. Р.,
Прудких Т. А., Румянцев В. Д., Расулов К. Я., Хвостиков В. П.

Исследованы зависимости коэффициента сопирания фотогенерированных носителей (Q) от толщины ($W=20 \div 300 \text{ \AA}$) и состава ($x=0.15 \div 0.9$) слоев твердых растворов в гетероструктурах $n\text{-GaAs}-p\text{-GaAs}-p\text{-Al}_x\text{Ga}_{1-x}\text{As}$, полученных методом низкотемпературной жидкокристаллической эпитаксии. Определены оптимальные параметры этих слоев ($w=50 \div 60 \text{ \AA}$; $x=0.7$), при которых достигается значительное расширение фоточувствительности в коротковолновую (ультрафиолетовую) область спектра и обеспечиваются минимальные потери на туннелирование через широкозонный слой и поверхностную рекомбинацию носителей в полосе прозрачности твердого раствора.

Увеличение фоточувствительности в коротковолновой области спектра в AlGaAs-фотопреобразователях может быть достигнуто при уменьшении толщины широкозонного слоя $\text{Al}_x\text{Ga}_{1-x}\text{As}$ ($x=0.7 \div 0.9$). На основе таких структур с толщиной фронтального слоя, уменьшенной до $300 \div 1000 \text{ \AA}$, были получены [1-4] солнечные элементы с наиболее высоким КПД преобразования солнечного излучения. Коэффициент сопирания в таких элементах практически постоянен и близок к 100 % в спектральном интервале $0.85 \div 0.5 \text{ мкм}$ и уменьшается при $\lambda < 0.45 \text{ мкм}$. Снижение потерь на поглощение в «широкозонном окне» для фиолетовой области спектра может быть обеспечено при дальнейшем уменьшении толщины слоя твердого раствора ($< 300 \text{ \AA}$). Однако при таких толщинах широкозонных слоев существенными могут оказаться процессы туннелирования и баллистического выброса «горячих» носителей [5] из узкозонной (GaAs) области на поверхность структуры с последующей их рекомбинацией.

В настоящей работе нами представлены результаты исследования фотоэлектрических свойств структур $n\text{-GaAs}-p\text{-GaAs}-p\text{-Al}_x\text{Ga}_{1-x}\text{As}$, в которых толщина слоя твердого раствора варьировалась в пределах от нескольких сот ангстрем до $20 \div 30 \text{ \AA}$, а состав твердого раствора $\text{Al}_x\text{Ga}_{1-x}\text{As}$ изменялся в диапазоне $x=0.15 \div 0.9$.

Экспериментальные образцы

Структуры $n\text{-GaAs}-p\text{-GaAs}-p\text{-Al}_x\text{Ga}_{1-x}\text{As}$ изготавливались методом низкотемпературной жидкокристаллической эпитаксии [6-9]. Снижение температуры роста ($400 \div 550^\circ\text{C}$) позволило осуществить прецизионную кристаллизацию квантоворазмерных планарных слоев толщиной менее 100 \AA . Сначала на подложке $n\text{-GaAs}$ выращивался эпитаксиальный слой $n\text{-GaAs}$ толщиной $\sim 5 \text{ мкм}$, затем выращивались слой $p\text{-GaAs}$ толщиной 2 мкм , легированный германием ($p = 0.1 \div 1 \cdot 10^{18} \text{ см}^{-3}$), и слой $p\text{-Al}_x\text{Ga}_{1-x}\text{As}$, легированный магнием ($p \simeq 10^{18} \text{ см}^{-3}$). К p -слою изготавливались полосковые токоотводящие контакты, а к n -подложке — сплошные. Антиотражающие покрытия не наносились.

Контроль эпитаксиальных структур осуществлялся методами эллипсометрии, ОРФЭС и прецизионного анодного окисления [1-12]. Исследования мо-

дельных структур методом ОРФЭС [11, 12] показали, что при низкотемпературной жидкокристаллической эпитаксии обеспечивается получение планарных Al—Ga—As слоев толщиной до $20\div30$ Å с «переходными» слоями толщиной до $10\div15$ Å.

Экспериментальные результаты и их обсуждение

На рис. 1 представлены спектры фотоотклика фотоэлементов с толщиной широкозонных слоев 200 и 50 Å, содержание AlAs в которых варьировалось от $x=0.9$ (кривые 1) до $x=0.15$ (кривые 5). На рис. 1, а приведены для сравнения спектры фотоотклика структуры с твердым раствором $\text{Al}_{0.8}\text{Ga}_{0.2}\text{As}$ толщиной 0.1 мкм (кривая 8) и структуры со стравленным широкозонным слоем (кривая 6). Известно, что более высокое значение Q в широком спектральном интервале может быть получено и в структурах с $p-n$ -переходом в GaAs без широкозонного

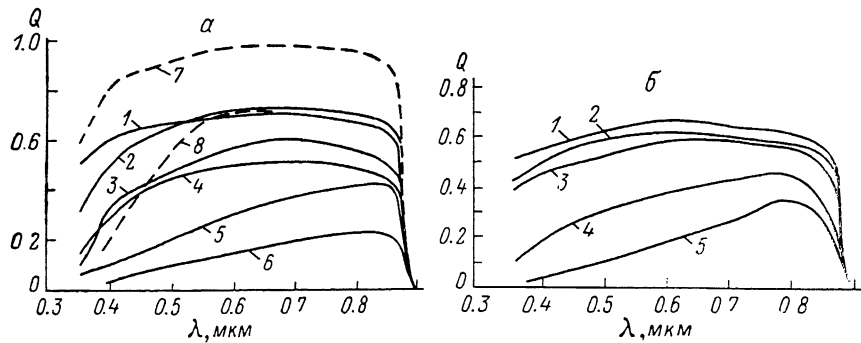


Рис. 1. Спектральные зависимости коэффициента собирания для фотоэлементов на основе структур $n\text{-GaAs}-p\text{-GaAs}-p\text{-Al}_x\text{Ga}_{1-x}\text{As}$ с толщиной широкозонных слоев $W=200$ (а) и 50 Å (б).

$x: 1 - 0.9, 2 - 0.7, 3 - 0.5, 4 - 0.3, 5 - 0.15, 6 - 0, 7 - 0.7, 8 - 0.8 (W=0.5 \text{ мкм}).$

окна, например, при толщине фронтального слоя GaAs, уменьшенной до ~ 0.1 мкм [13], и при создании в этом слое тянувшего поля градиента концентрации примеси. В настоящей работе использование структур с относительно большой толщиной ($d_p=2$ мкм) слоя p -GaAs позволило более наглядно выявить процессы туннельного выброса фотоносителей из слоя p -GaAs на поверхность структуры при уменьшении толщины и ширины запрещенной зоны твердого раствора.

Кривые 1—6, 8 (рис. 1) получены на образцах без просветляющих покрытий, а кривая 7 — спектральная зависимость коэффициента собирания, пересчитанная из кривой 2 (рис. 1, а) с учетом коэффициента отражения. Достижение значения $Q_{\max} \approx 0.95$ (в спектральном интервале $0.55\div0.8$ мкм, кривая 7) свидетельствует практически о полном собирании носителей в структуре со слоем p -GaAs толщиной 2 мкм и широкозонным слоем $\text{Al}_x\text{Ga}_{1-x}\text{As}$ ($x=0.7\div0.9$) толщиной 200 Å. Как видно из рис. 1, б, такое же значение Q достигается при уменьшении толщины слоя $\text{Al}_x\text{Ga}_{1-x}\text{As}$ ($x=0.7\div0.9$) до $50\div70$ Å. Сравнение кривых 1, 2 (рис. 1, а, б) с кривой 8 (рис. 1, а) показывает, что при одинаковой высокой фоточувствительности в спектральном диапазоне $0.55\div0.85$ мкм в структурах с ультратонкими ($50\div200$ Å) широкозонными слоями заметно увеличивается чувствительность в коротковолновой (фиолетовой) области спектра ($\lambda < 0.45$ мкм). Однако такое увеличение Q достигается только при достаточной величине потенциального барьера на гетерогранице $p\text{-GaAs}-p\text{-Al}_x\text{Ga}_{1-x}\text{As}$ ($x \geq 0.7$), препятствующего туннельному выбросу фотоносителей из слоя p -GaAs.

Как видно из кривых 3—5 (рис. 1, а, б), уменьшение содержания AlAs в слоях $\text{Al}_x\text{Ga}_{1-x}\text{As}$ приводит при $x \leq 0.5$ к уменьшению величины Q как в области прозрачности широкозонного окна, так и в коротковолновой области спектра.

Для более детального анализа полученных спектров фотоотклика на рис. 2 построены зависимости величины Q от толщины слоя W твердого раствора раз-

личного состава при двух фиксированных значениях длины волны возбуждающего излучения: $\lambda=0.4$ (рис. 2, а) и $\lambda=0.63$ мкм (рис. 2, б). Как видно из приведенных на рис. 2, а кривых 2, 3, уменьшение толщины W от 300 до $50\div70$ Å приводит к возрастанию Q при $\lambda=0.4$ мкм, причем темп роста больше в образце со значением параметра x в слое $\text{Al}_x\text{Ga}_{1-x}\text{As}$, равным 0.5 (рис. 2, а, кривая 3), что объясняется большей скоростью уменьшения потерь на поглощение при уменьшении W в слоях с меньшей шириной запрещенной зоны.

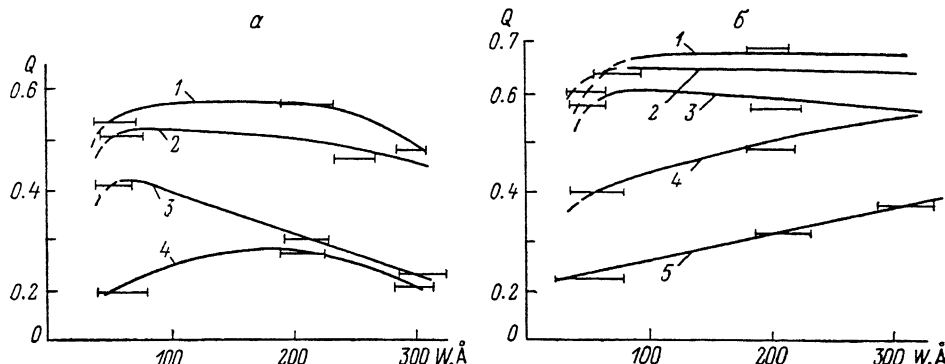


Рис. 2. Зависимости коэффициента собирания от толщины широкозонных слоев при длинах волны возбуждающего излучения $\lambda=0.4$ (а) и 0.63 мкм (б).

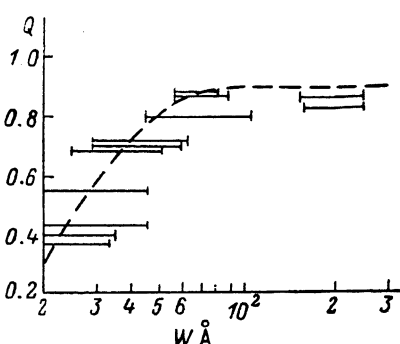
1—5 — значения x в слоях $\text{Al}_x\text{Ga}_{1-x}\text{As}$ те же, что и на рис. 1.

При $x=0.9$ (рис. 2, а, кривая 1) уменьшение толщины W в интервале $300\div200$ Å ведет к небольшому возрастанию Q , а затем в интервале от 200 до $50\div70$ Å значение Q сохраняется на максимальном уровне, что связано практически с полной прозрачностью слоя $\text{Al}_{0.9}\text{Ga}_{0.1}\text{As}$ толщиной $W < 200$ Å для излучения с $\lambda=0.4$ мкм.

При $x=0.3$ (рис. 2, а, кривая 4) уменьшение толщины широкозонного слоя сначала (в интервале $300\div200$ Å) приводит к увеличению Q ($\lambda=0.4$ мкм), а затем ($W < 200$ Å) к его снижению.

Рассмотрим теперь зависимости Q от толщины W твердых растворов для длины

Рис. 3. Зависимость внутреннего коэффициента собирания от толщины широкозонных слоев $\text{Al}_x\text{Ga}_{1-x}\text{As}$ ($x=0.7\div0.8$) при длине волны излучения $\lambda=0.63$ мкм.



волны возбуждающего излучения $\lambda=0.63$ мкм (рис. 2, б). В образцах $n\text{-GaAs}-p\text{-GaAs}-p\text{-Al}_x\text{Ga}_{1-x}\text{As}$ с $x=0.5\div0.7$ при уменьшении W от 300 до $50\div70$ Å сохраняется почти постоянное значение Q , немножко увеличивающееся при возрастании содержания AlAs в твердом растворе (рис. 2, б, кривые 1—3). При $x=0.3$ и 0.15 (рис. 2, б, кривые 4, 5) при уменьшении W в интервале $300\div50$ Å происходит монотонное снижение Q . Подобным же образом происходит снижение и в полосе прозрачности ($\lambda\simeq0.7\div0.8$ мкм) этих твердых растворов (рис. 1, б, кривые 4, 5). Такое поведение образцов с ультратонкими широкозонными слоями отличается от поведения структур с более толстыми слоями твердого раствора, в которых коэффициент собирания в полосе прозрачности (обозначим его как Q_0) имеет почти постоянное максимальное значение. Причина снижения Q_0 при уменьшении E_g широкозонного окна в образцах с $W < 300$ Å, так же как и при уменьшении толщины «окна» (рис. 2, б, кривые 4, 5), заключается в увеличении вероятности туннелирования носителей из $p\text{-GaAs}$.

в слой твердого раствора и на его поверхность при уменьшении высоты и эффективной толщины потенциального барьера, разделяющего область генерации photoносителей и приповерхностный слой AlGaAs с обратным тянувшим полем поверхности загиба зон.

Приведенные результаты показывают, что оптимальное содержание AlAs в слое твердого раствора, обеспечивающее максимально широкий спектральный интервал фоточувствительности при сохранении коррозионной устойчивости слоя $\text{Al}_x\text{Ga}_{1-x}\text{As}$, составляет $70 \div 80$ мол %. Для образцов с таким составом широкозонного слоя было выполнено более детальное исследование зависимости $Q=f(W)$ в диапазоне толщин $W=100 \div 20$ Å (рис. 3). Постоянное высокое значение Q ($\lambda=0.63$ мкм) сохраняется в этих образцах до толщин $W=50 \div 60$ Å. Снижение Q при $W < 50 \div 60$ Å объясняется увеличением вероятности туннельного выброса photoносителей из p -GaAs на поверхность структуры и увеличением доли фотоэлектронов, захватываемых потенциальной «ямой», образованной поверхностным загибом зон.

Таким образом, проведенные исследования позволили экспериментально установить зависимости коэффициента сортирования photoносителей от толщины ($W=20 \div 300$ Å) и состава ($x=0.15 \div 0.9$) твердых растворов $\text{Al}_x\text{Ga}_{1-x}\text{As}$ и найти оптимальные параметры этих слоев, при которых достигается расширение фоточувствительности в коротковолновую область спектра при сохранении максимальных значений Q в полосе прозрачности твердого раствора.

В заключение авторы выражают признательность К. Ю. Погребицкому, Б. Я. Беру, А. В. Никитину, А. М. Минтаирову за помощь в измерениях структур и Ж. И. Алфёрову за внимание к данной работе.

Л и т е р а т у р а

- [1] Андреев В. М., Егоров Б. В., Лантратов В. М., Румянцев В. Д., Трошков С. И. // ЖТФ. 1983. Т. 53. В. 8. С. 1658—1660.
- [2] Аллахвердиев А. М., Егоров Б. В., Лантратов В. М., Трошков С. И. // ЖТФ. 1982. Т. 52. В. 11. С. 2312—2314.
- [3] Андреев В. М., Румянцев В. Д., Салиева О. К., Сараджишвили Н. М., Сулима О. В. // ЖТФ. 1985. Т. 55. В. 6. С. 1124—1129.
- [4] Hamaker H. C., Ford C. W., Werthen I. G., Virshup G. F., Kaminar N. R., King D. L., Gee I. M. // Appl. Phys. Lett. 1985. V. 47. N 1. P. 762—764.
- [5] Егоров Б. В., Мезрин О. А. // Письма ЖТФ. 1986. Т. 12. В. 14. С. 890—893.
- [6] Андреев В. М., Ивентьев О. О., Конников С. Г., Погребицкий К. Ю., Пурон Э., Сулима О. В., Фалеев Н. Н. // Письма ЖТФ. 1986. Т. 12. В. 9. С. 533—537.
- [7] Алфёров Ж. И., Андреев В. М., Воднев А. А., Конников С. Г., Ларионов В. Р., Погребицкий К. Ю., Румянцев В. Д., Хвостиков В. П. // Письма ЖТФ. 1986. Т. 12. В. 18. С. 1089—1093.
- [8] Алфёров Ж. И., Андреев В. М., Воднев А. А., Ивентьев О. О., Ларинов В. Р., Румянцев В. Д. // ФТП. 1986. Т. 20. В. 2. С. 381—383.
- [9] Андреев В. М., Воднев А. А., Минтаиров А. М., Румянцев В. Д., Хвостиков В. П. // ФТП. 1987. Т. 22. В. 7. С. 1211—1215.
- [10] Андреев В. М., Воднев А. А., Ларинов В. Р., Расулов К. Я., Румянцев В. Д., Хвостиков В. П. // Письма ЖТФ. 1988. Т. 14. В. 15. С. 1428—1433.
- [11] Алфёров Ж. И., Андреев В. М., Конников С. Г., Ларинов В. Р., Погребицкий К. Ю., Фалеев Н. Н., Хвостиков В. П. // Письма ЖТФ. 1988. Т. 14. В. 2. С. 171—176.
- [12] Бакалейников Л. А., Конников С. Г., Погребицкий К. Ю., Фалеев Н. Н. // Тез. докл. I Всес. конф. «Физические методы исследования поверхности и диагностики материалов и элементов вычислительной техники». Кишинев, 1986. С. 26.
- [13] Garozzo M., Parretta A., Maletta G., Adonecchini V., Gentili M. // Sol. Energy Mater. 1986. V. 14. N 1. P. 21—51.